

## Fordonsdynamik med reglering

Jan Åslund  
 jaasl@isy.liu.se  
 Associate Professor

Dept. Electrical Engineering  
 Vehicular Systems  
 Linköping University  
 Sweden

### Föreläsning 8

Vi har hittills studerat laterala och longitudinella krafter separat.

Fallet med både laterala och longitudinella krafter är mer komplext.

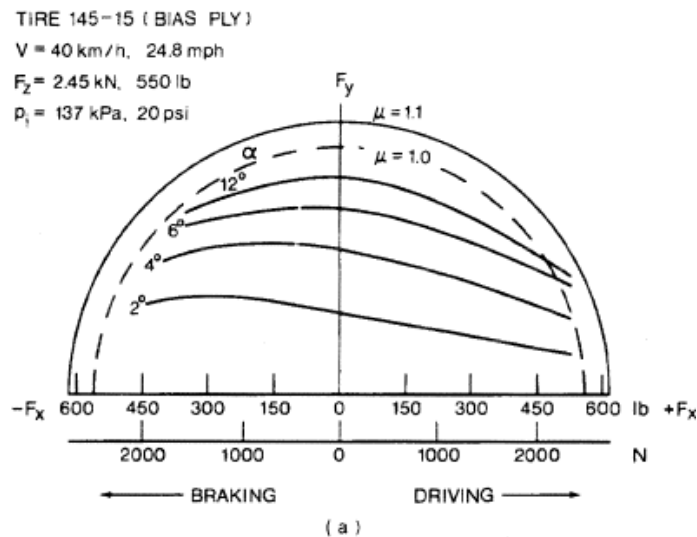
Figur 1.39 visar hur sambandet mellan dessa krafter och avdriftsvinkeln kan se ut.

En enkel modell för sambandet mellan  $F_x$ ,  $F_y$  och  $\alpha$  är att anta att kurvorna i figuren är ellipser.

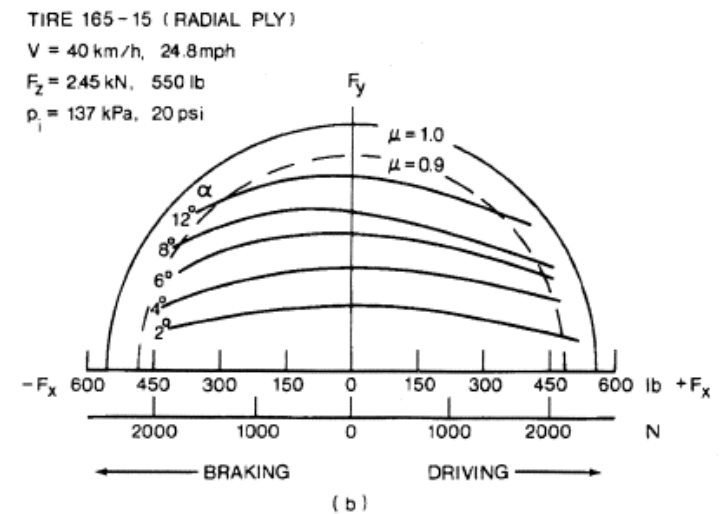
När vi konstruerar ellipserna utgår vi från att följande är känt:

- Sambandet mellan  $F_y$  och  $\alpha$  i fallet  $F_x = 0$ .
- $F_{xmax}$  i fallet  $F_y = 0$ .

### Figur 1.39a



### Figur 1.39b



## Friktionsellipsen: Arbetsgång

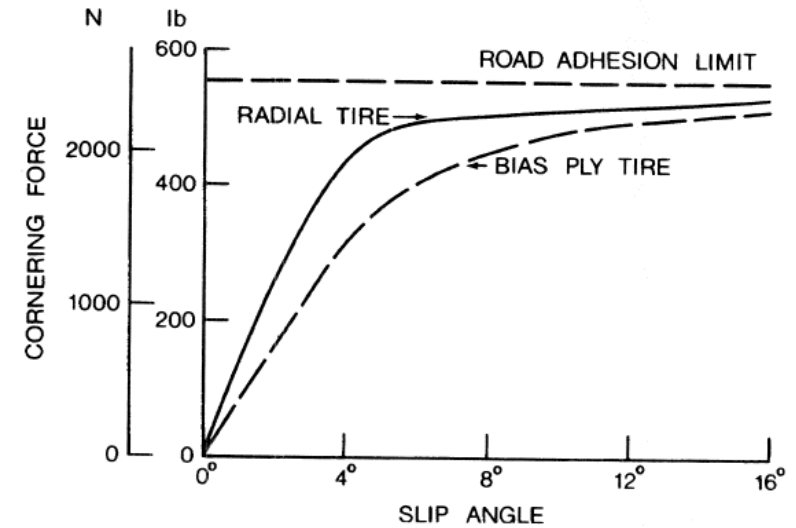
Arbetsgång:

- 1) Givet en avdriftsvinkel  $\alpha$  beräknas  $F_{y\alpha}$  då  $F_x = 0$ , t.ex. genom att läsa av figur 1.23 eller motsvarande.
- 2) Maximala longitudinella kraften  $F_{xmax}$  i fallet  $F_y = 0$  är känd.
- 3)  $F_{xmax}$  och  $F_{y\alpha}$  är halvaxlarna i ellipsen

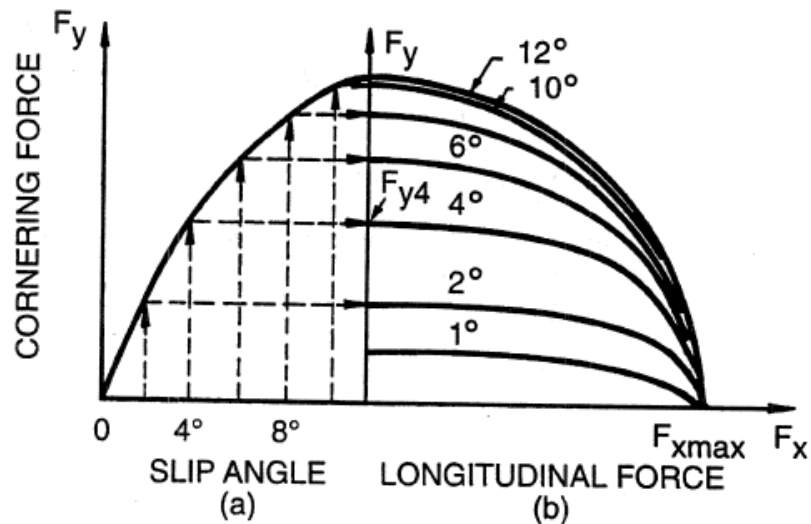
$$(F_y/F_{y\alpha})^2 + (F_x/F_{xmax})^2 = 1$$

Figur 1.42 illustrerar hur ellipserna ges av  $F_{xmax}$  och kurvan  $F_y(\alpha)$ .

## Figur 1.23



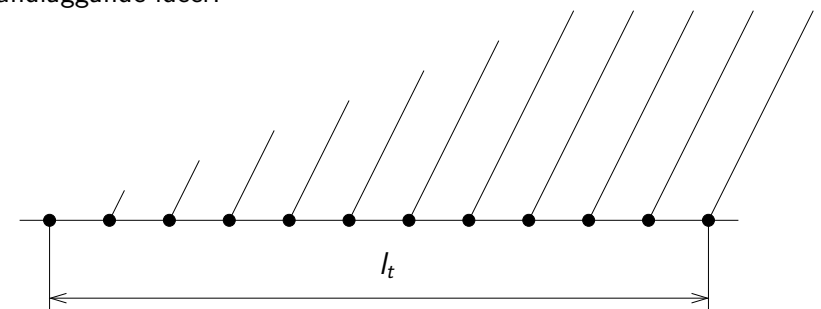
## Figur 1.42



## Borstmodellen

Tidigare har vi använt borstenmodellen för lateral och longitudinella krafter separat. Modellen går lätt att utvidga till det allmänna fallet.

Grundläggande idéer:



Longitudinell förskjutning

$$\frac{i_s}{1 - i_s} x$$

Lateral förskjutning

$$y' = \frac{\alpha}{1 - i_s} x$$

Longitudinell kraft med linjär modell:

$$\frac{dF_x}{dx} = \frac{k_t i_s}{1 - i_s} x$$

Lateral kraft med linjär modell

$$\frac{dF_y}{dx} = \frac{k'_y \alpha}{1 - i_s} x$$

Friktionsmodell:

$$\sqrt{\left(\frac{dF_x}{dx}\right)^2 + \left(\frac{dF_y}{dx}\right)^2} \leq \mu \frac{W}{l_t}$$

I vilozonen:

$$\sqrt{\left(\frac{k_t i_s}{1 - i_s}\right)^2 + \left(\frac{k'_y \alpha}{1 - i_s}\right)^2} \cdot x \leq \frac{\mu W}{l_t}$$

Längden på vilozonen ges av

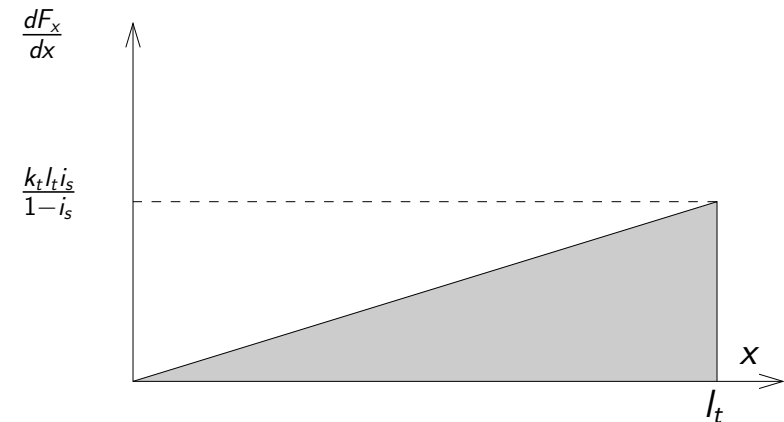
$$\frac{l_c}{l_t} = \frac{\mu W (1 - i_s)}{2 \sqrt{(C_s i_s)^2 + (C_\alpha \alpha)^2}}$$

där

$$C_s = \frac{k_t l_t^2}{2}$$

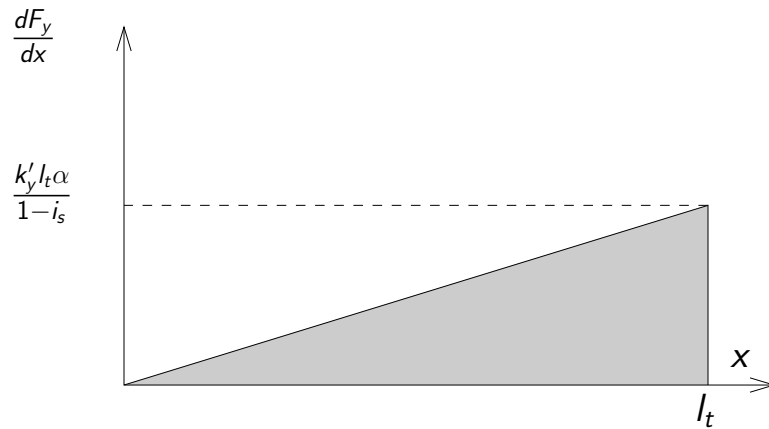
$$C_\alpha = \frac{k'_y l_t^2}{2}$$

Om  $l_c/l_t \geq 1$  så finns ingen glidzon



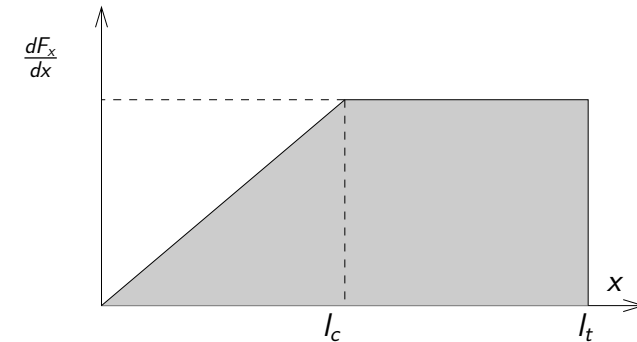
$$F_x = \frac{1}{2} \frac{k_t i_s l_t}{1 - i_s} l_t = C_s \frac{i_s}{1 - i_s}$$

## Borstmodellen: Utan glidzon



$$F_y = \frac{1}{2} \frac{k'_y \alpha l_t}{1 - i_s} l_t = C_\alpha \frac{\alpha}{1 - i_s}$$

## Borstmodellen: Med glidzon

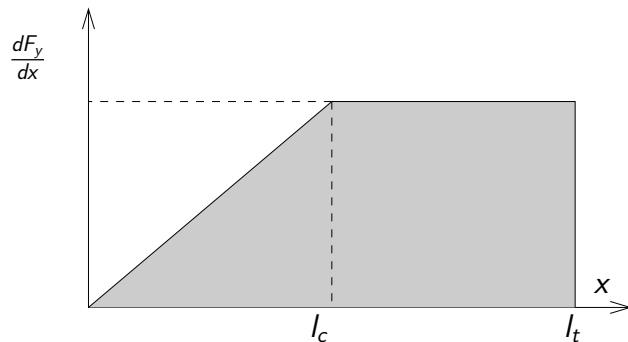


I glidzonen gäller att

$$\frac{dF_x}{dx} = \frac{\mu W}{l_t} \frac{C_s i_s}{\sqrt{(C_s i_s)^2 + (C_\alpha \alpha)^2}}$$

Kraften  $F_x$  ges av den skuggade arean under kurvan

## Borstmodellen: Med glidzon



I glidzonen gäller att

$$\frac{dF_y}{dx} = \frac{\mu W}{l_t} \frac{C_\alpha \alpha}{\sqrt{(C_s i_s)^2 + (C_\alpha \alpha)^2}}$$

Kraften  $F_y$  ges av den skuggade arean under kurvan

## Vattenplaning

Viskoplaning orsakas av ett tunt vattenskikt mellan vägen och däckets (vattendjup: 0.5 mm). Detta tunna vattenskikt bryter den molekylära länken mellan gummit och vägen. Greppet försvinner helt och det finns inget som hindrar fordonet från att glida.

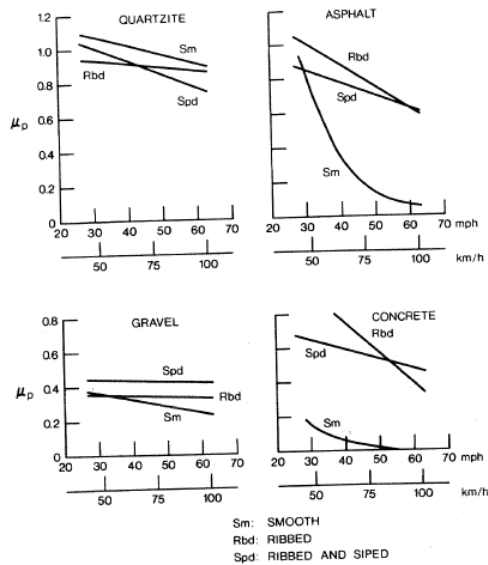
Vattenplaning medför att man successivt tappar kontakten med vägen genom att ett lager vatten (vattendjup  $\geq 0,5$  mm) bildas mellan däckets och vägen p.g.a. fordonets hastighet. Hastigheten orsakar ett ökat vattentryck framför däckets, som gör att däckets gradvis lyfter från vägen. I takt med att hastigheten ökar blir vattenkilen under däckets större och till slut tappar däckets all kontakt med vägen.

Mer detaljer hittar du här: [www.michelin.se](http://www.michelin.se)

Faktorer som påverkar vattenplaning:

- Hastighet
- Vattennivå
- Däckets kontaktyta
- Däckets mönster

Figur 1.47



Enkel modell för lyftkraften:

$$F_h = k \rho_f A V^2$$

där  $\rho_f$  vattnets densitet,  $A$  är kontaktytans area,  $V$  bilens hastighet

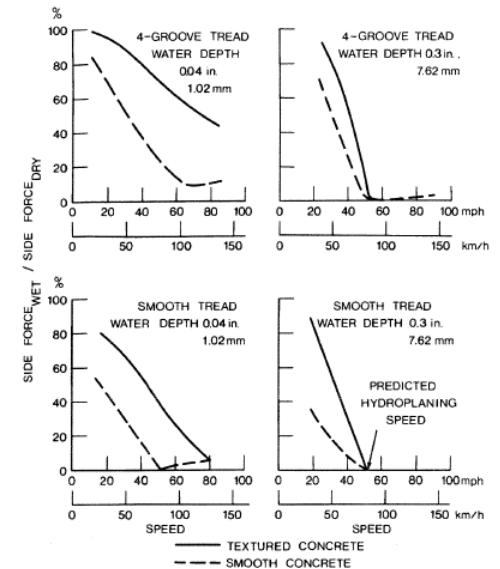
Empirisk formel för hastighet då vattenplaning inträffar:

$$V_p = 6.34 \sqrt{p_i} \text{ km/h}$$

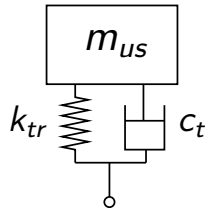
där  $p_i$  är trycket i däck mätt  $kPa$ .

Figur 1.47 visar hur friktionskoefficienten varierar med hastigheten för olika däcktyper och underlag. Figur 1.51 visar sidkraften.

Figur 1.51



En enkel däckmodell med en fjäder och en dämpare:



Parametrarna  $k_{tr}$  och  $c_t$  måste identifieras.

Tre intressanta fall:

- Statisk styvhet
- Dynamisk styvhet för icke-rullande hjul
- Dynamisk styvhet för rullande hjul

## Exempel

Frekvensen för svängningen är

$$\omega = \frac{2\pi v}{\lambda} = 5.34 \text{ rad/s}$$

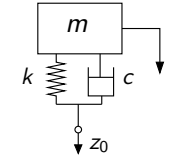
Överföringsfunktion från  $z_0$  till kraften:

$$G(s) = \frac{ms^2(cs + k)}{ms^2 + cs + k}$$

Kraften varierar mellan

$$mg - |G(i\omega)|Z = 3.4 \text{ kN} \text{ och } mg + |G(i\omega)|Z = 5.4 \text{ kN}$$

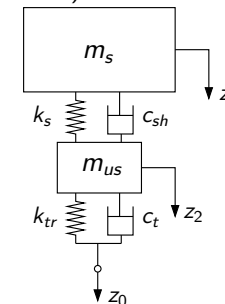
Betraktar en kvartsbilsmodell med en fjädrad massa  $m = 450 \text{ kg}$ , en fjäder med fjäderkonstant  $k = 25 \text{ kN/m}$  och en dämpare med dämpkonstant  $c = 2 \text{ kNs/m}$ .



Bilen kör på en sinusformad väg med våglängd  $\lambda = 20 \text{ m}$  och amplitud  $Z = 5 \text{ cm}$  och håller hastigheten  $v = 60 \text{ km/h}$ . Vilka värden kommer kraften mellan däck och väg att variera mellan?

## Kvartsbilsmodell

En modell med den fjädrade massan  $m_s$  (karossmassa) och den ofjädrade massan  $m_{US}$  (hjul- och axelmassa).



Dynamiska ekvationer

$$m_s \ddot{z}_1 + c_{sh}(\dot{z}_1 - \dot{z}_2) + k_s(z_1 - z_2) = 0$$

$$m_{US} \ddot{z}_2 + c_{sh}(\dot{z}_2 - \dot{z}_1) + k_s(z_2 - z_1) + c_t \dot{z}_2 + k_{tr} z_2 = c_t \dot{z}_0 + k_{tr} z_0$$

## Odämpat system

Utan dämpning och med  $z_0 = 0$  får vi

$$\begin{aligned}m_s \ddot{z}_1 + k_s z_1 - k_s z_2 &= 0 \\ m_{us} \ddot{z}_2 - k_s z_1 + (k_s + k_{tr}) z_2 &= 0\end{aligned}$$

Kan skrivas

$$M \ddot{z} + Az = 0$$

där matriserna

$$M = \begin{bmatrix} m_s & 0 \\ 0 & m_{us} \end{bmatrix}, \quad A = \begin{bmatrix} k_s & -k_s \\ -k_s & k_s + k_{tr} \end{bmatrix}$$

är positivt definita och symmetriska.

## Odämpat system

Systemet har lösningar på formen:

$$\begin{aligned}z_1 &= Z_1 \cos(\omega_n t - \varphi) \\ z_2 &= Z_2 \cos(\omega_n t - \varphi)\end{aligned}$$

Vinkelfrekvenserna  $\omega_n$  ges av den karakteristiska ekvationen

$$\det(-\omega_n^2 M + A) = 0$$

och egenvektorer

$$Z = \begin{pmatrix} Z_1 \\ Z_2 \end{pmatrix}$$

ges av det homogena ekvationssystemet

$$(-\omega_n^2 M + A)Z = 0$$

## Odämpat system

Lösningarna till den karakteristiska ekvationen ges av

$$\omega_n^2 = \frac{B_1 \pm \sqrt{B_1^2 - 4A_1 C_1}}{2A_1}$$

där

$$A_1 = m_s m_{us}$$

$$B_1 = m_s k_s + m_s k_{tr} + m_{us} k_s$$

$$C_1 = k_s k_{tr}$$

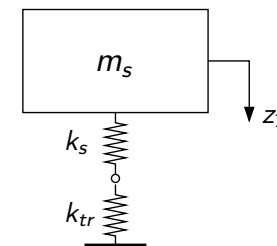
Ofta är konstanterna  $k_s$ ,  $m_{us}$  små jämfört med  $k_{tr}$  resp.  $m_s$ .

## Odämpat system: Approximation

För första lösningen fås approximationen

$$\begin{aligned}\omega_{n1}^2 &= \frac{B_1 - \sqrt{B_1^2 - 4A_1 C_1}}{2A_1} = \frac{2C_1}{B_1 + \sqrt{B_1^2 - 4A_1 C_1}} \\ &\approx \frac{C_1}{B_1} \approx \frac{k_s k_{tr}}{m_s k_s + m_s k_{tr}} = \frac{(1/k_s + 1/k_{tr})^{-1}}{m_s}\end{aligned}$$

Samma vinkelhastighet som för två seriekopplade fjädrar och en massa  $m_s$ :

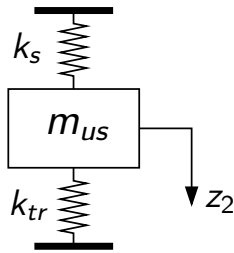


## Odämpat system: Approximation

Approximation av den andra vinkelhastigheten:

$$\begin{aligned}\omega_{n2}^2 &= \frac{B_1 + \sqrt{B_1^2 - 4A_1C_1}}{2A_1} \approx \frac{B_1}{A_1} \\ &\approx \frac{m_s k_s + m_s k_{tr}}{m_s m_{us}} = \frac{k_s + k_{tr}}{m_{us}}\end{aligned}$$

Samma som för två parallellkopplade fjädrar och en massa  $m_{us}$ :



## Dämpat system

Tar vi med dämpning får vi systemet

$$M\ddot{z} + C\dot{z} + Az = f(t)$$

där

$$C = \begin{bmatrix} c_{sh} & -c_{sh} \\ -c_{sh} & c_{sh} + c_t \end{bmatrix}, \quad f(t) = \begin{pmatrix} 0 \\ c_t \dot{z}_0 + k_{tr} z_0 \end{pmatrix}$$

Genom att transformera systemet får vi

$$G(s)\ddot{z}(s) = \tilde{f}(s)$$

där

$$G(s) = s^2 M + sC + A$$

## Dämpat system

Försummar dämpningen i däcket och antar i fortsättningen att  $c_t = 0$ .

Med

$$G(s) = \begin{bmatrix} g_{11}(s) & g_{12}(s) \\ g_{21}(s) & g_{22}(s) \end{bmatrix}$$

och

$$\tilde{f}(s) = \begin{pmatrix} 0 \\ k_{tr} \tilde{z}_0(s) \end{pmatrix}$$

får vi sambandet

$$\begin{pmatrix} \tilde{z}_1 \\ \tilde{z}_2 \end{pmatrix} = \frac{k_{tr}}{g_{11}g_{22} - g_{12}g_{21}} \begin{pmatrix} -g_{12}\tilde{z}_0 \\ g_{11}\tilde{z}_0 \end{pmatrix}$$

## Dämpat system: Förstärkning

Om vägprofilen är en harmonisk svängning med amplitud  $Z_0$  och vinkelfrekvens  $\omega$ , så är  $z_1$  och  $z_2$  harmoniska svängningar med amplitud  $Z_1$  resp.  $Z_2$ .

Förstärkningarna ges av:

$$\frac{Z_1}{Z_0} = \left| \frac{k_{tr}g_{12}(i\omega)}{g_{11}(i\omega)g_{22}(i\omega) - g_{12}(i\omega)g_{21}(i\omega)} \right|$$

$$\frac{Z_2}{Z_0} = \left| \frac{k_{tr}g_{11}(i\omega)}{g_{11}(i\omega)g_{22}(i\omega) - g_{12}(i\omega)g_{21}(i\omega)} \right|$$



## Dämpat system: Förstärkning

Uttryckt i de ursprungliga storheterna:

$$\frac{Z_1}{Z_0} = \sqrt{\frac{A_2}{B_2 + C_2}}$$
$$\frac{Z_2}{Z_0} = \sqrt{\frac{A_3}{B_2 + C_2}}$$

där

$$A_2 = (k_s k_{tr})^2 + (c_{sh} k_{tr} \omega)^2$$

$$A_3 = (k_{tr}(k_s - m_s \omega^2))^2 + (c_{sh} k_{tr} \omega)^2$$

$$B_2 = ((k_s - m_s \omega^2))(k_{tr} - m_{us} \omega^2) - m_s k_s \omega^2)^2$$

$$C_2 = (c_{sh})^2 (m_s \omega^2 + m_{us} \omega^2 - k_{tr})^2$$

## Prestanda: Vibrationsisolering

Förstärkning beror av vinkelfrekvensen och detta samband kan åskådliggöras i ett bodediagram med logaritmiska skalor.

Figurerna 7.9–11 visar hur förstärkningen för den fjädrade massan varierar när man ändrar

- Ofjädrade massan  $m_{us}$
- Styvheten för fjädringen  $k_s$
- Dämpfaktorn  $\gamma$

## Prestanda: Fjädringsamplitud

Som ett mått på hur mycket hjulfjädringen sträcks ut använder vi förstärkningen

$$\frac{\max(z_2 - z_1)}{Z_0}$$

Figurerna 7.12–14 visar hur förstärkningen för den fjädrade massan varierar när man ändrar

- Ofjädrade massan  $m_{us}$
- Styvheten för fjädringen  $k_s$
- Dämpfaktorn  $\gamma$

## Prestanda: Vaghållning och hjulhopp

Blir skillnaden  $z_0 - z_2$  för stor tappar däckets kontakten mot underlaget.

Figurerna 7.15–17 visar hur förstärkningen

$$\frac{\max(z_0 - z_2)}{Z_0}$$

varierar när man ändrar

- Ofjädrade massan  $m_{us}$
- Styvheten för fjädringen  $k_s$
- Dämpfaktorn  $\gamma$

# Olinjära dämpare

I verkligheten är en linjär modell för dämparen inte alltid realistisk.

